

تاریخ دریافت: ۱۳۹۱/۱۲/۹

تاریخ پذیرش: ۱۳۹۲/۷/۷

ص ۲۷۵-۲۸۵

## ساختار ژنتیکی جمعیت سگماهی جویباری

(*Turcinoemacheilus kossiwigi* Banarescu and Nalbant, 1964)

در رودخانه بریم (کهگیلویه و بویراحمد) و خیرآباد

(خوزستان) با استفاده از نشانگرهای ریزماهواره

- ❖ قاسم عسگری\*: دانشجوی دکترا، گروه شیلات، دانشگاه علوم کشاورزی منابع طبیعی گرگان، ایران
- ❖ حامد کلنگی میاندراه: استادیار، گروه شیلات، دانشگاه علوم کشاورزی و منابع طبیعی گرگان، ایران
- ❖ علی شعبانی: دانشیار، گروه شیلات، دانشگاه علوم کشاورزی و منابع طبیعی گرگان، ایران

### چکیده

از شش جایگاه ریزماهواره *Turcinoemacheilus kossiwigi* در دو رودخانه بریم و خیرآباد، استفاده شد. در مجموع، تعداد ۶۰ نمونه (۳۰ نمونه برای هر رودخانه) استفاده و تعداد ۱۲۵ الی با متوسط  $10/4$  الی برای هر لوکوس محاسبه شد. به ترتیب بیشترین و کمترین تعداد الی مشاهده شده ۱۷ و ۶ عدد برای جمعیت رودخانه بریم بود. میانگین هتروزایگوستی مشاهده شده (Ho) و مورد انتظار (He) به ترتیب ( $0/341$ ) و ( $0/036$ ) بود. ۱۰ جایگاه ژئی انحراف معنی داری را از تعادل هاردی - وایبرگ نشان داد. نتایج Fst ( $0/0467$ ) و Rst ( $0/0430$ ) تمايز ژنتیکی پایینی را در بین مناطق نشان می دهد. آنالیز واریانس مولکولی فقط ۳ درصد تنوع را در بین جمعیت ها نشان داد. بر اساس نتایج، محافظت و بازسازی زیستگاهها می تواند به افزایش اندازه جمعیت و کاهش خطر آسیب پذیری این گونه در آینده کمک کند.

واژگان کلیدی: بریم، تنوع ژنتیکی، خیرآباد، ریزماهواره، *Turcinoemacheilus kossiwigi*

حفظات از منابع ژنتیکی و جلوگیری از کاهش تنوع ژنتیکی بسیار مهم و ضروری است (Li *et al.*, 2007; Peng *et al.*, 2009). هدف اصلی مطالعات ژنتیک حفاظت و نگهداری تغییرات ژنتیکی ایجادشده در جمعیت‌ها طی گذشت زمان است، زیرا اطلاعات کاملی را درباره تاریخچه سیر تکاملی گونه‌ها در اختیار قرار می‌دهد (Narum *et al.*, 2004). تنوع ژنتیکی عاملی مهم در حفاظت از گونه‌های در معرض خطر است (Na-Nakorn *et al.*, 2006).

امروزه به منظور بررسی تنوع ژنتیکی از نشانگرهای مولکولی متنوعی استفاده می‌شود، اما یکی از کارامدترین این نشانگرهای ریزماهواره‌ها هستند. امروزه، این نشانگرهای به علت پلی‌مورفیسم بالا، نشان‌دادن میزان بالای جهش، هم‌بارزی، تعداد زیاد باندها و ارزیابی پراکنش ژنومی در مطالعات ژنتیک جمعیت به طور گسترده استفاده می‌شوند (Was and Wenne, 2002).

تاکنون مطالعات زیادی در بررسی تنوع ژنتیکی ماهیان دارای ارزش اقتصادی در ایران انجام شده است (قدسی و همکاران، ۱۳۹۰؛ قلیچ‌پور و همکاران، ۱۳۸۹؛ کشیری و همکاران، ۱۳۸۹؛ رضایی و همکاران، ۱۳۸۹)، اما تاکنون در زمینه ماهیان اکولوژیک مطالعات بسیار اندکی انجام شده است. سگ‌ماهیان جویباری و رفتگر ماهیان (لوچ‌ماهیان) از جمله ذخایر مهم ژنتیکی در آبهای داخلی ایران محسوب می‌شوند و، با توجه به بومی‌بودن بسیاری از این گونه‌ها، تحقیق روی آنها لازم و ضروری به نظر می‌رسد. رحمانی و همکاران، در سال ۱۳۸۸، به بررسی شاهکولی در رودخانه‌های هراز، شیرورد و گزارش‌بندی با استفاده از نشانگر RLFP پرداختند. با

## ۱. مقدمه

لوچ‌ماهیان دومین گروه بزرگ‌ماهیان آب شیرین بعد از کپور‌ماهیان در ایران و شامل ماهیانی با جشه‌های بسیار کوچک در ۱۹ حوضه آبریز ایران هستند. این ماهیان در ایران دو خانواده بالیتوریده<sup>۱</sup> و کوبیتیده<sup>۲</sup> را شامل می‌شوند. بیش از ۴۰ درصد از لوچ‌ماهیان Abdoli and Golzarianpoor, (1995، ۱۹۹۶ و ۱۹۹۸). Coad (2010) در سال‌های ۱۹۹۵ و ۱۹۹۶ جغرافیای جانوری و تنوع زیستی ماهیان آب شیرین ایران را تشریح کرد. گونه *Turcinoemacheilus kossugi* از خانواده سگ‌ماهیان جویباری و پراکنش آن مربوط به جنوب غرب (حوضه دجله) است. دارای بدنه کشیده و باریک است که به آن امکان زیست در بسترهای شنی و قلوه‌سنگی باشد. جریان زیاد را می‌دهد؛ بدنه با زمینه قهوه‌ای دارد که در بین آن لکه‌های زرد پراکنده‌ای دیده می‌شود. منافذ خط جانبی در این گونه نسبت به سایر سگ‌ماهیان جویباری موجود در ایران بزرگ‌تر و به راحتی مشاهده شدنی است. در آبهای تمیز با گل‌آلودگی کم زندگی می‌کند. این گونه در بسیاری از سرشاخه‌های رودخانه‌های کارون و دز گزارش شده است و بیشینه طول آن را ۵/۹ سانتی‌متر گزارش کرده‌اند (Golzarianpour *et al.*, 2011).

مطالعات ژنتیکی برای تعیین پراکندگی و مرزهای اکولوژیکی موجودات، حتی برای موجودات با مهاجرت زیاد، بسیار کارامد است (Palumbi, 2003). دستیابی به خصوصیات ژنتیکی موجودات به منظور

1 Balitoridae

2 Cobitidae

هضم سپس، خالص‌سازی به کمک فنول و کلروفورم انجام شد. پس از رسوب و شستشو، DNA در آب مقطر حل شد. کمیت و کیفیت DNA با دستگاه اسپکتروفوتومتر و ژل آگارز تعیین شد (ibid).



شکل ۱. موقعیت جغرافیایی مناطق نمونه‌برداری

در این مطالعه از ۱۵ جفت نشانگر ریزماهواره استفاده شد که فقط ۶ جفت نشانگر IC434، IC228، Bbar8 و Bbar7 تولید باند پلی‌مورف کردند (جدول ۱). این نشانگرها برای اولین بار برای مطالعات دو گونه از لوج‌ماهیان استفاده شدند (Bang *et al.*, 2009; Taylor *et al.*, 2001) و اکنش زنجیره‌پلی‌مراز (PCR) با استفاده از ۵ میکرولیتر بافر PCR (10X)، dNTP با غلظت  $\mu\text{M}$ ، ۱ واحد بین‌المللی آنزیم DNA پلی‌مراز (Amersham Pharmacia Biotech) سیناکلون، ۲۰ نانوگرم DNA هدف و آب مقطر تا رسیدن به حجم ۲۵ میکرولیتر انجام شد. سیکل دمایی برای هر جایگاه عبارت بود از ۳ دقیقه در ۹۴ درجه سانتی‌گراد، در ادامه، ۳۵ چرخه شامل ۹۴ درجه برای ۳۰ ثانیه، درجه حرارت اتصال ۳۰ ثانیه و ۷۲ درجه برای ۱ دقیقه، با یک بسط نهایی ۷۲ درجه برای

توجه به روند رو به رشد آلدگی رودخانه‌ها و در معرض بودن آبزیان در برابر این آلاینده‌ها، نیاز به حفاظت از گونه‌های بومی و اندامیک آب‌های داخلی امروزه بیش از گذشته احساس می‌شود. از سوی دیگر، به علت توپوگرافی متنوع در ایران و وجود موانع طبیعی بسیار در مسیر مهاجرت ماهیان آب‌های داخلی، این تحقیق به منظور بررسی اثر آلدگی و موانع طبیعی در تنوع ژنتیکی دو جمعیت سگ‌ماهی جویباری (*Turcinoemacheilus kosswigi*) با استفاده از شش جایگاه ریزماهواره‌ای انجام شد.

## ۲. مواد و روش‌ها

تعداد ۶۰ نمونه ماهی در آذر ۱۳۹۱ از دو رودخانه بریم (گچساران / کهگیلویه و بویراحمد) با طول جغرافیایی  $15^{\circ} ۳۲' ۵۱''$  شرقی و عرض جغرافیایی  $۳۰^{\circ} ۱۹' ۸۸''$  شمالی، و خیرآباد (بهبهان / خوزستان) با طول جغرافیایی  $۲۴^{\circ} ۰۹' ۲۴''$  شرقی و عرض جغرافیایی  $۳۱^{\circ} ۳۹' ۳۱''$  شمالی صید شدند. در مسیر رودخانه بریم چندین کارخانه شن و ماسه وجود داشت و محل نمونه‌برداری ما در پایین دست این کارخانه‌ها واقع شده بود؛ در حالی که، محل نمونه‌برداری در رودخانه خیرآباد در منطقه‌ای تقریباً بکر واقع بود. به منظور استخراج DNA باله ماهیان جدا و در اتانول ۹۶ درصد تثبیت شد. برای شناسایی قطعی این گونه بر اساس خصوصیات مورفومنتریک و مریستیک این گونه از سایتهاهای briancoad و Fishbase استفاده شد. استخراج DNA به روش فنول – کلروفورم انجام شد (Sambrook *et al.*, 1989). در این روش باله ماهی در بافر STE (سدیم دو دسیل سولفات) به همراه پروتئیناز K به مدت ۲۴ ساعت

(HWE)، مقادیر Fst و Rst و جریان ژنی با استفاده Peakall and ) Genealex ver.6.5 (Smouse, 2012) محاسبه شد. فاصله و شباهت ژنتیکی (Nei, 1978) و رابطه فیلوزنیک جمیعتها با نرم افزار PopGene ver 1.31 (Yeh *et al.*, 1999) محاسبه شد (.

۳ دقیقه. محصول زنجیره پلی مراز روی ژل پلی اکریل آمید ۸ درصد (غیریونیزه شده) جداسازی و به وسیله Bassam *et al.*, (1991).

فراوانی الی، هتروزایگوستی مشاهده شده (Ho و مورد انتظار (He)، تعادل هارדי – واینبرگ

جدول ۱. خصوصیات جایگاه ژنی مورد استفاده

ردیف	شماره بانک ژن	دماجی اتصال	پرایمر	تعداد الل	وزن (جفت باز)	جایگاه ژنی
۵۳	AF310878		F: TACCCCTCCTAGGCTTGC R: CTGGGGCTTTCATTTGAG	۱۵	۹۲ – ۱۲۸	Bbar3
۵۰	AF310881		F: GAGCAACAGCTGCTGTAGGA R: GTCGGACCAACCTGAAA	۸	۳۴۴ – ۳۸۴	Bbar7
۴۹	AF310882		F: CTCCTGGATTACTCCCTGA R: AGCGCGTCTGTGAAGTTCT	۱۱	۱۸۰ – ۲۱۶	Bbar 8
۴۹	EU252085		F: NED-AATACGAAACTACTTGGTAATGGC R: GTGAAAAGGTCCAGTTAAAGC	۸	۱۸۴ – ۲۵۲	IC228
۵۳	EU252092		F: 6FAM-TCCACCATGACCATTTCACATA R: GGTGTCTGGATCTCATCTTGAA	۱۱	۲۱۶ – ۲۶۴	IC434
۵۹	EU252097		F: NED-CGCAATGCATTCTCAAATCTCAA R: GACCCCACTCATCACTGCCCTCTC	۱۱	۲۴۰ – ۲۸۸	IC720

جمعیت رودخانه بریم مشاهده شد. بیشترین میزان الی مشاهده شده و مورد انتظار در جمعیت رودخانه بریم به ترتیب ۱۷، ۱۴/۲۹۷ و کمترین میزان آن به ترتیب ۶ و ۳/۶۸۶ بود. در جمعیت رودخانه خیرآباد بیشترین میزان الی مشاهده شده و مورد انتظار به ترتیب ۱۳، ۸/۶۰۲ و کمترین میزان آن به ترتیب ۸/۵/۴۸۲ بود (جدول ۲).

میانگین هتروزایگوستی مشاهده شده و مورد انتظار به ترتیب ۰/۴۶۷ و ۰/۸۴۳ و متوسط هتروزایگوستی مشاهده شده برای رودخانه بریم و

### ۳. نتایج

به منظور بررسی ساختار و تنوع ژنتیکی سگماهی جویباری (Turcinoemacheilus kosswigi) از ۱۵ جفت نشانگر غیراختصاصی مربوط به سایر گونه‌های لوج‌ماهیان استفاده شد. از بین نشانگرهای مورد استفاده ۶ جفت باند پلی مورف تولید کردند. در مجموع، تعداد ۱۲۵ الی در هر دو جمعیت مشاهده شد. بر اساس نتایج حداکثر تعداد الی در بین دو منطقه نمونه برداری در جایگاه Bbar3 (۱۷ الی) و کمترین میزان آن در جایگاه Bbar7 (۶ الی) در

را نشان داد (جدول ۲). متوسط شاخص درون‌آمیزی ( $F_{IS}$ ) برای جمعیت بریم و خیرآباد به ترتیب  $0/458$  و  $0/434$  به دست آمد.

میزان  $Rst$  و  $Fst$  و جریان ژنی ( $Nm$ ) بین دو جمعیت به ترتیب  $0/64$ ,  $0/341$  و  $9/217$  محاسبه شد (جدول ۳). بر اساس شاخص  $Rst$  درصد تمایز در بین و  $66$  درصد درون جمعیت‌ها مشاهده شد (شکل ۲). میزان شباهت و فاصله ژنتیکی بین مناطق نیز به ترتیب  $0/621$  و  $0/476$  به دست آمد (جدول ۳). دندروگرام UPGMA بر اساس مقدار فاصله ژنتیکی نشان داد که این دو منطقه در دو شاخه مجزا قرار دارند.

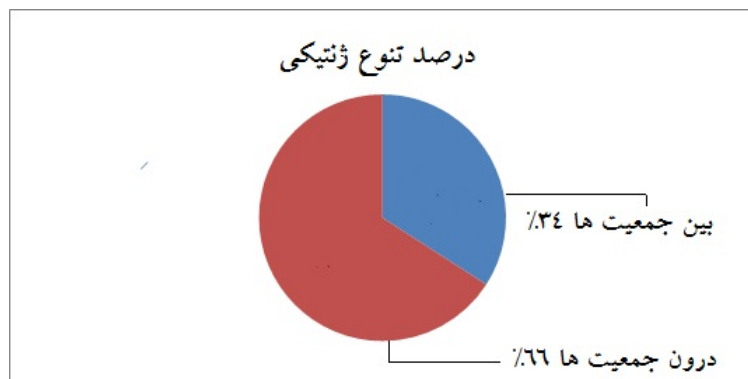
خیرآباد به ترتیب  $0/449$  و  $0/486$  محاسبه شد. کمترین میزان هتروزایگوسیتی مشاهده شده ( $0/217$ ) برای جایگاه  $Bbar7$  روധانه خیرآباد محاسبه شد. آن برای جایگاه IC434 روധانه خیرآباد محاسبه شد. کمترین و بیشترین میزان هتروزایگوسیتی مورد انتظار  $Bbar3$  به ترتیب مربوط به جایگاه  $Bbar7$  ( $0/729$ ) و  $(0/930)$  روധانه بریم بود. محاسبه مقادیر هتروزایگوسیتی نشان می‌دهد که در هر دو منطقه نمونه‌برداری برای تمامی جایگاه‌ها میزان هتروزایگوسیتی مورد انتظار بیش از هتروزایگوسیتی مشاهده شده است. از  $12$  تست هاردی - واینبرگ موجود  $10$  تست انحراف از تعادل هاردی - واینبرگ

جدول ۲. تنوع ژنتیکی جایگاه‌های ژنی مورد استفاده در جمعیت‌های مورد بررسی

IC720	IC434	IC228	Bbar8	Bbar7	Bbar3	منطقه
۹	۱۱	۸	۸	۶	۱۷	$N_a$
$6/151$	$5/977$	$6/011$	$5/023$	$3/686$	$14/297$	$N_e$
$0/696$	$0/348$	$0/696$	$0/435$	$0/217$	$0/304$	$H_o$
$0/837$	$0/833$	$0/834$	$0/802$	$0/729$	$0/930$	$H_e$
$0/169$	$0/582$	$0/166$	$0/458$	$0/702$	$0/673$	$F_{IS}$
***	***	***	ns	***	***	pHw
۱۳	۱۰	۸	۱۳	۱۰	۱۲	$N_a$
$8/602$	$6/654$	$5/482$	$8/602$	$6/571$	$7/723$	$N_e$
$0/609$	$0/783$	$0/391$	$0/304$	$0/435$	$0/391$	$H_o$
$0/884$	$0/850$	$0/818$	$0/884$	$0/848$	$0/871$	$H_e$
$0/311$	$0/079$	$0/521$	$0/656$	$0/487$	$0/550$	$F_{IS}$
***	ns	***	***	***	***	pHw

: تعداد ال،  $N_a$ : تعداد ال مؤثر،  $H_o$ : هتروزایگوسیتی مشاهده شده،  $H_e$ : هتروزایگوسیتی مورد انتظار،  $F_{IS}$ : ضریب درون‌آمیزی،

: تست احتمال هاردی - واینبرگ (ns: عدم معنی داری،  $*P \leq 0/05$ ,  $**P \leq 0/01$ ,  $***P \leq 0/001$ ). (\*\*\*\*P ≤ .).



شکل ۲. توزیع تنوع ژنتیکی بر اساس معیار Rst

جدول ۳. میزان جریان ژنی (Nm) و تمایز (Fst) در سطح شش جایگاه ژنی مورد استفاده

میانگین	IC720	IC434	IC228	Bbar8	Bbar7	Bbar3	جایگاه ژنی
	۹/۲۱۷	۹/۳۸۷	۱۴/۱۲۷	۴/۶۲۲	۴/۰۷۱	۶/۰۸۸	Nm
	۰/۰۳۴	۰/۰۲۶	۰/۰۱۷	۰/۰۵۱	۰/۰۵۸	۰/۰۳۹	Fst

اتحادیه بین‌المللی حفاظت از گونه و منابع طبیعی (IUCN) تنوع ژنتیکی را بهمنزله یکی از سه عامل حفاظت از گونه‌ها بیان کرده است (Mcneely and Miller, 1990). امروزه، هدف اصلی از مطالعات ژنتیک مولکولی در آبزیان آنالیز ساختار جمعیتی، تنوع ژنتیکی، ارتباطات گونه‌ای، سیستماتیک و طبقه‌بندی آنهاست (Rezvani Gilkolaei, 1997).

در این مطالعه، تنوع ژنتیکی سگ‌ماهی جویباری (Turcinoemacheilus kosswigi) با استفاده از ۶ جفت نشانگر ریزماهواره در رودخانه‌های بریم و خیرآباد بررسی شد. بر اساس نتایج، میانگین تعداد الی مشاهده شده در رودخانه‌های بریم و خیرآباد به ترتیب ۱۰ و ۱۱ بود. همچنین، میانگین تعداد ال مؤثر در این دو رودخانه به ترتیب ۶/۸۶۰ و ۷/۲۷۲ بود. شایان ذکر است که ال مشاهده شده در هر

پلی‌مورفیسم در ژنوم هسته موجودات، بهمنزله شاخص ژنتیکی ارزشمندی، برای ارزیابی تنوع و ساختار ژنتیکی با هدف حفاظت از ذخایر ژنی گونه‌ها مطرح است (Alarcon *et al.*, 2004). مدیریت ذخایر، در صورتی که بر پایه اطلاعات دقیق مولکولی باشد، می‌تواند علاوه بر حفظ تنوع زیستی میزان بهره‌برداری را به حد بهینه برساند (Thai *et al.*, 2006). تنوع ژنتیکی آبزیان یکی از شاخص‌های مهم Zhou *et al.*, 2003 تعیین شرایط اکولوژیک منابع آبی است (al., 2003). بر اساس کنوانسیون ۱۹۹۲ ریو (کنفرانس ملل متحده در زمینه مطالعات زیست و توسعه) تنوع زیستی عبارت است از تفاوت بین موجودات زنده در یک مجموعه اکولوژیک و شامل تنوع درون‌گونه‌ای (Gray and John, 1997) است.

جمعیت‌ها منجر می‌شود. در جمعیت‌های مورد مطالعه محتمل‌ترین اثر در کاهش هتروزایگوسیتی می‌تواند تخریب زیستگاه و آمیزش‌های خویشاوندی باشد.

بر اساس نتایج، تمامی جایگاه‌های ژنی به جز جایگاه Bbar8 (در رودخانه بربیم) و IC434 (رودخانه خیرآباد) انحراف از تعادل هاردی – واینبرگ را نشان دادند. یکی از علل انحراف از تعادل هاردی – واینبرگ وجود الن نول و استفاده از نشانگرهای غیراختصاصی است. در واقع، وجود الن نول در خصوص ریزماهواره‌های ماهیان پدیده‌ای معمول است (ibid). شاخص Fst بیانگر میزان تمایز ژنتیکی جمعیت‌ها در سطوح مختلف است. هر چه میزان جریان ژنی بین مناطق بیشتر باشد، تمایز Beacham and Macconachi, 2004. میزان Fst محاسبه‌شده در بین دو جمعیت مورد بررسی ۰/۰۳۶ بود که بیانگر تمایز پایین در بین Smith and (Mcveagh, 2005; Avise, 2004).

با توجه به اینکه پدیده گونه‌زایی منوط به افزایش اختلاف ژنتیکی در جمعیت‌های جدا یا نسبتاً جدا از همدیگر است، بنابراین، به طور قطع می‌توان در بین پارامترهایی نظیر جریان ژنی، فواصل جغرافیایی و Beacham and گونه‌زایی ارتباط برقرار کرد (Macconachi, 2004). میزان جریان ژنی در بین دو منطقه نمونه‌برداری بیانگر نبود اختلاف زیاد ژنتیکی در بین جمعیت‌هاست. هدف اصلی از حفاظت آبیان، نگهداری دامنه وسیعی از تنوع ژنتیکی است (Skaala et al., 2004). بر اساس ارزیابی اطلاعات به دست آمده از فراوانی الی، هتروزایگوسیتی، تعادل

جایگاه ژنی به شدت تحت تأثیر تعداد نمونه است و به همین علت، امکان دارد که در آزمایش‌های با تعداد نمونه متفاوت تعداد الهای مختلفی برای جایگاه ژنی معین به دست آید (Peakall and Smouse, 2012). بر اساس نتایج، میانگین هتروزایگوسیتی مشاهده شده در دو منطقه نمونه‌برداری ۰/۴۶۷ و هتروزایگوسیتی مورد انتظار ۰/۸۴۳ بود. به طور کلی، میانگین هتروزایگوسیتی مشاهده شده برای ماهیان آب شیرین ۰/۴۶ بود (DeWoody and Avise, 2000). نتایج نشان می‌دهد که هتروزایگوسیتی مشاهده شده در حدود مورد انتظار برای ماهیان آب شیرین است. فراوانی هتروزایگوت‌ها از این نظر مهم است که هر هتروزایگوت ناقل الهای متفاوتی است و باعث تنوع می‌شود. به همین علت، معمول‌ترین معیار تنوع ژنتیکی در یک جمعیت میزان هتروزایگوسیتی است (Brighitte et al., 2005). هتروزایگوسیتی بیانگر طیف وسیعی از ژنوتیپ به منزله پاسخ به سازش‌پذیری در شرایط متغیر محیطی است و بسیاری از خصوصیات مهم از قبیل رشد، باروری و مقاومت در برابر بیماری‌ها را تحت تأثیر قرار می‌دهد (Beardmore et al., 1997). در این مطالعه میزان هتروزایگوسیتی مشاهده شده برای تمامی جایگاه‌ها کمتر از میزان هتروزایگوسیتی مورد انتظار بود. کاهش هتروزایگوسیتی مشاهده شده نسبت به هتروزایگوسیتی مورد انتظار بیان‌کننده کاهش در تغییرپذیری ژنتیکی جمعیت‌هاست. علت این کاهش ممکن است تنگنای ژنتیکی باشد که در اثر شرایط زیست‌محیطی، تخریب زیستگاه و آمیزش خویشاونی به وجود می‌آید (Norris et al., 1999). این پدیده به مرور زمان به کاهش هتروزایگوسیتی و الـل مشاهده شده در

به نتایج، می‌توان گفت که آلودگی به کاهش تنوع ژنتیکی در بین جمیعت‌ها منجر خواهد شد. همان‌گونه که دیده می‌شود، جمیعت متعلق به رودخانه بریم، به علت وجود کارخانه‌های شن و ماسه در بالادست محل نمونه‌برداری، نسبت به جمیعت رودخانه خیرآباد، که از منطقه‌ای نسبتاً بکر به دست آمده بود، تنوع ژنتیکی پایین‌تری را نشان داد. همچنین، موانع طبیعی، که مانع از ارتباط این دو جمیعت شده است، باعث ایجاد تنوع ژنتیکی ۳۴ درصدی بر اساس شاخص  $Rst$  در بین دو جمیعت طی گذشت زمان شده است. با توجه به اینکه این گونه فاقد نشانگر ریزماهواره اختصاصی بود، طی این مطالعه شش جفت نشانگر ریزماهواره برای این گونه شناسایی شد.

هاردی - واینبرگ، شاخص  $Fst$  و ترسیم دندروگرام مناطق نمونه‌برداری می‌توان نتیجه گرفت که دو جمیعت مجزا در این مناطق وجود دارد که دارای جریان ژنی بالایی در بین خود و بر همین اساس، دارای تنوع ژنتیکی بالایی درون جمیعت بوده‌اند. یکی از دلایل وجود جریان ژنی بالا در بین این دو جمیعت، در حالی که حوضه آبی جدایی داشته‌اند، می‌تواند اثر Wahlund باشد. اثر Wahlund به این نکته اشاره دارد زمانی که در یک جمیعت دو یا تعداد بیشتری زیرجمیعت با فراوانی الی متفاوت وجود دارند، در نهایت، باعث کاهش هتروزایگوسیتی مشاهده شده کلی در جمیعت می‌شوند، حتی اگر زیرجمیعت‌ها در تعادل هاردی - واینبرگ نیز قرار گیرند. از دلایل ایجاد این زیرجمیعت‌ها می‌توان به موانع جغرافیایی و رانش ژنتیکی اشاره کرد. با استناد

## References

- [1]. Abdoli, A., Golzarianpoor, A., 2010. Status of the endemic loaches of Iran. International loach conference, Prague, Czech Republic. (O-1): pp.18.
- [2]. Alarcon, J.A., Magoulas, A., Alvarez, M.C., 2004. Genetic comparision of wild and culttative European population of the gill head sea bream. Aquaculture 230, 65-80.
- [3]. Bang, I., Kim, W.J., Rolee, I., 2009. Characterization of polymorphic microsatellite loci in the endangered Miho spine loach (*Ikssookimia choii*) and cross-species amplification within the Cobitidae family. Molecular Ecology Resources 9, 281-284.
- [4]. Bassam, B. J., Caetano-Anolles, G. and Gresshoff, G. M., 1991. Fast and sensitive silver staining of DNA in polyacrylamide gels. Annual Biochemistry 84, 680-683.
- [5]. Beacham, T.D., Macconachi, C., 2004. Microsatellite identification of individual sockeye salmon in Barkley Sound, British Columbia. Journal of Fish biology 61, 1021-1032.
- [6]. Beardmore, J.A.; Mair, G.C. and Lewis, R.I., 1997. Biodiversity in aquatic systems in relation to aquaculture. Aquaculture 28, 829-839.
- [7]. Brighitte, J.; Hansen, M. and Loeschcker, V., 2005. Microsatellite DNA analysis of northern pike (*Esox lucius*) populations: insights into the genetic structure and demographic history of a genetically depauperate species. Biology Journal of Linnaean Society 84, 1-11.
- [8]. Coad, B. W. 1995. Freshwater Fishes of Iran. Acta Scientiarum Naturalium Academiae Scientiarum Bohemicae, Brno 29(1):1-64.
- [9]. Coad, B. W., 1996. Freshwater fishes of Iranian and Pakistani Baluchistan. Second Symposium on Fish and Fisheries of Pakistan, Lahore, pp. 25-26.
- [10].Coad, B. W. 1998. Systematic biodiversity in the freshwater fishes of Iran. Italian Journal of Zoology 65,101-108.
- [11].Coad, B. W. 2012. <http://www.briancoad.com/Species%20Accounts/> Cobitidae%20to%20 Cyprinodontidae.
- [12].Dewoody, J. A., Avise, J. C., 2000. Microsatellite variation in marine, freshwater and anadromous fishes compared with other animals. Fish biology 56, 461-473.
- [13].Fishbase.org/summary/Turcinemacheilus-kosswigi.html
- [14].Ghodsi, Z., Shabani, A., Shabanpour, B., 2011. Genetic diversity of *Liza aurata* (Risso, 1810) inthe coastal regions of Golstan province, using microsatellite marker. Taxonomy and Biosystematics 6: 35 – 47. (In Farsi).
- [15].Ghelichpour, M., Shabani, A., Shabanpour, B., 2010. Genetic diversity of the two populations of Common carp (*Cyprinus carpio*) in Gharahsu and Anzali regions using eight microsatellite markers. Taxonomy and Biosystematics. 5: 39-49. (In Farsi).
- [16].Gray, John, S., 1997. Marine Biodiversity: patterns, threats and Conservation needs, GESAMP.
- [17].Golzarianpour, K., Abdoli, A., Kiabi, BH., 2011. Length-weight relationships for nine nemacheilian loaches (Teleostei: Nemacheilidae) from Iran. Journal of Applied Ichthyology 27, 1411-1412.
- [18].Kashiri, H., Shabani, A., Shabanpour, B., Rezaei, M., 2010. Microsatellite polymorphism in

- natural populations of threatened Caspian roach in Golestan coasts. *Taxonomy and Biosystematics* 2: 55 – 67. (In Farsi).
- [19]. Li, D.Y., Kang, D.H., Yin, Q.Q., Sun, X.W., Liang, L.Q., 2007. Microsatellite DNA marker analysis of genetic diversity in wild common carp (*Cyprinus carpio* L.) populations. *J. Genetic and Genomic.* 34, 984–993.
- [20]. Mcneely, J.A., Miller, K.R., 1990. Conserving the world's biological diversity. Washington, DC. Iuc. N, world Resources Institute, Conservation International, WWF- US and the World Bank.
- [21]. Na-Nakorn, U., Sukmanomon, S., Nakajima, M., Taniguchi, N., Kamonrat, W., Poompuang, S. & Nguyen, T.T., 2006. MtDNA diversity of the critically endangered Mekong giant catfish (*Pangasianodon gigas* Chevey, 1913) and closely related species: implications for conservation. *Animal Conservation* 9, 483-494.
- [22]. Narum, S.R., Contor, C., Talbot, A., Powell, M.S., 2004. Genetic divergence of sympatric resident and anadromous forms of *Oncorhynchus mykiss* in the Walla Walla River. *J. Fish Biology* 65, 471-488.
- [23]. Nei, M., 1978. Estimation of average heterozygosity and genetic distance from small number of individuals. *Genetics* 89, 583-590.
- [24]. Norris, A. T., Bradley. D. G., Cunningham, E. D., 1999. Microsatellite genetic variation between and within farmed and wild Atlantic salmon populations. Department of Genetics, Trinity College Dublin, Ireland. 247-264.
- [25]. Peakall, R. and Smouse P.E., 2012. GenAlEx 6.5: genetic analysis in Excel. Population genetic software for teaching and research-an update. *Bioinformatics* In press.
- [26]. Peng, S.M., Shi, Z.H., Hou, J.L., Wang, W., Zhao, F., Zhang, H., 2009. Genetic diversity of silver pomfret (*Pampus argenteus*) populations from the China sea based on mitochondrial DNA control region sequences. *Biochemical Systematic Ecology* 37, 626–632.
- [27]. Rahmani, H., Kazemi, B., Pourkazemi, M., Bandehpour, M., Naderi Jolodar, M., Seyed, N., Ataei, F., 2009. Genetics Diversity of Shemaya (*Chalcalburnus chalcooides*) Population in Haraz, Shirud and Gazafrud Rivers Using 18S rRNA Gene and PCR-RFLP Method. *Environmental Sciences* 6, 43-52.
- [28]. Rezaii, M., Shabani, A., Shabani, B., Kashiri, H., 2010. Genetic comparison of Caspian Sea *Rutilus frisii kutum* (Kamenskii, 1901) in Gorganroud and Cheshmekile (Tonekabon) rivers using microsatellite markers. *Taxonomy and Biosystematics* 1: 1–15. (In Farsi).
- [29]. Rezvani Gilkolaei, S., 1997. Molecular population genetic studies of sturgeon species in the south Caspian sea. Ph.D. Thesis School of biological Sciences, university of Wales, Swansea. U.K.
- [30]. Sambrook, J., Fritsch, E.F., Maniatis, T., 1989. Electrophoresis of RNA through gels containing formaldehyde. In: *Molecular cloning: A laboratory manual.* (eds. Ford, N., Nolan, C. and Fregusen.
- [31]. M.) 743-745. Cold Spring Harbor Laboratory Press, New York.
- [32]. Skaala, Q.; Hoyheim, B.; Glover, K. and Dahlea, G., 2004. Microsatellite analysis in domesticated and Wild Atlantic salmon (*Salmo salar* L.): allelic diversity and identification of individuals. *Aquaculture* 240, 131-143.

- [33]. Smith, P. and Mcveagh, M., 2005. Allozyme and microsatellite DNA markers of toothfish population structure in the Southern Ocean. *Journal of Fish Biology* 57, 72-83.
- [34]. Taylor, M., Blust, R. and Verheyen, E., 2001. Characterization of microsatellite loci in the stone loach, *Barbatula barbatula* L. *Molecular Ecology Notes* 1, 96-97.
- [35]. Thai, B.T., Pham, T.A. and Austin, G.M., 2006. Genetic diversity of common carp in Vietnam using direct sequencing and SSCP analysis of the mitochondrial DNA control region. *Aquaculture* 258, 228-240.
- [36]. Was, A., Wenne, R., 2002. Genetic differentiation in hatchery and wild sea trout (*Salmo trutta*) in the southern Baltic at microsatellite loci. *Aquaculture* 204, 493–506.
- [37]. Wahlund, S., 1928. Zusammensetzung von Population und Korrelationserscheinung vom Standpunkt der Vererbungslehre aus betrachtet. *Hereditas* 11:65–106.
- [38]. Yeh, F. C., Yang, R. C. and Boyle, T., 1999. POPGENE version 1.3.1. Microsoft Window-bases Freeware for population Genetic Analysis. Retrieved from <http://www.uallberta.ca/fyeh>. On: 11 September 2008.
- [39]. Zhou, J.F.; Wu, Q.J.; Ye, Y.Z. and Tong, J.G., 2003. Genetic divergence between *Cyprinus carpio carpio* and *Cyprinus carpio haematopterus* as assessed by mitochondrial DNA analysis, with emphasis on origin of European domestic carp. *Genetica* 119, 93-97.